

Analisis Estadistico del pAlpide-2

Sergio Best, Rafael Caballero

July 4, 2016

Chip



Figure: El chip

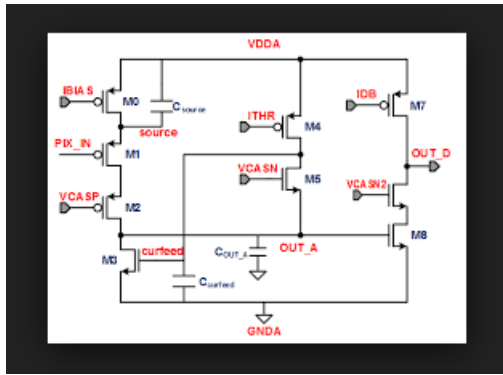


Figure: Arquitectura de un pixel del chip

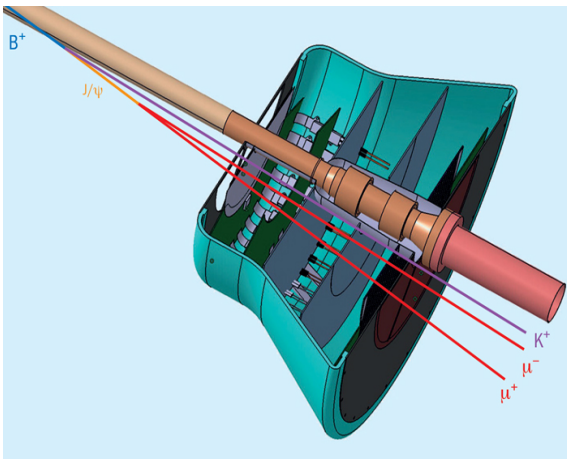


Figure: Geometria del detector

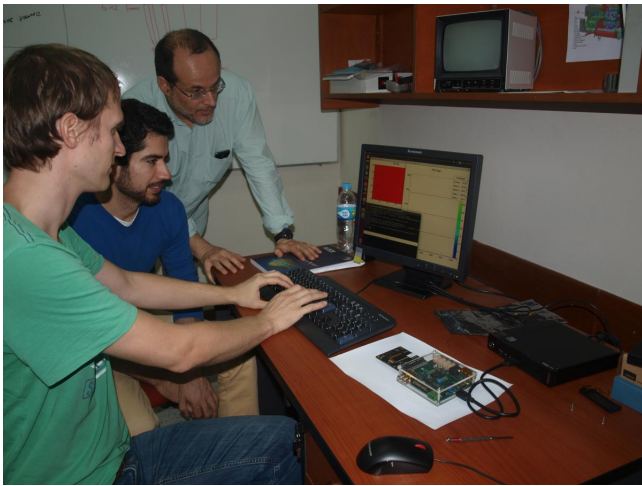


Figure: Gago, Bazo, Endress(Izquierda, Centro, Derecha)

Procesamiento de los datos

Se uso Fortran 90 y root

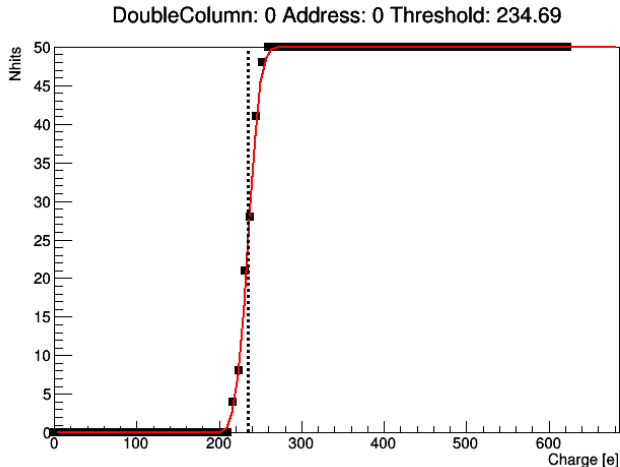


Figure: Fit de la respuesta del chip

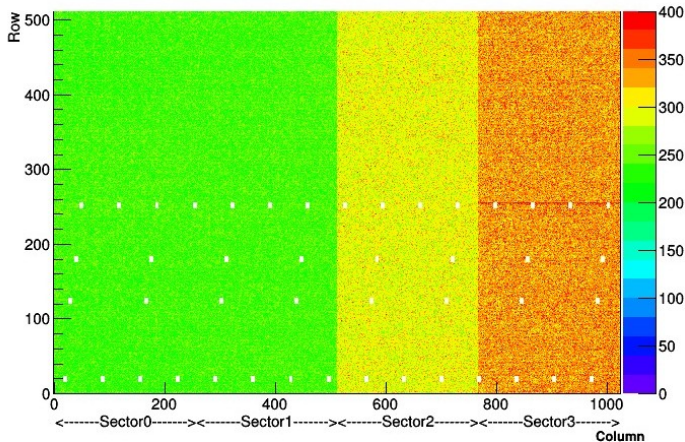


Figure: respuesta del chip

Diferencia de pixeles par/impar

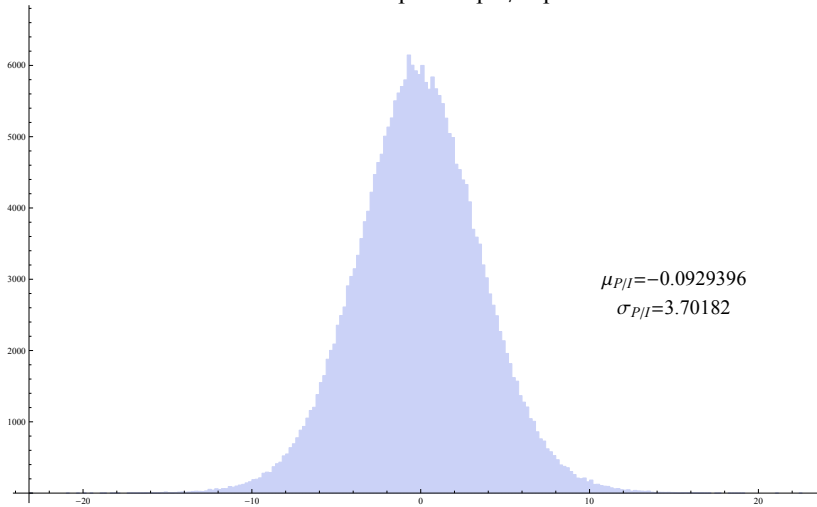


Figure: diferencia de pares impares

Analisis Estadistico

Diferencia de pixeles de las regiones 0,1 y 2

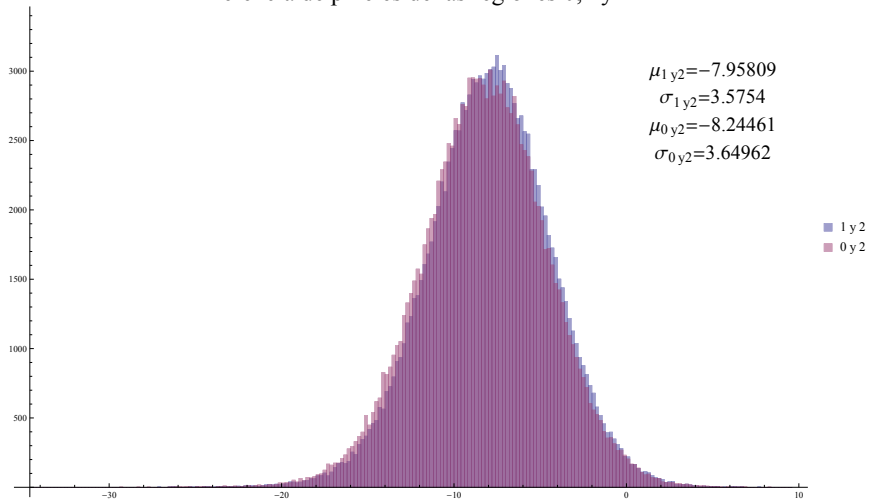
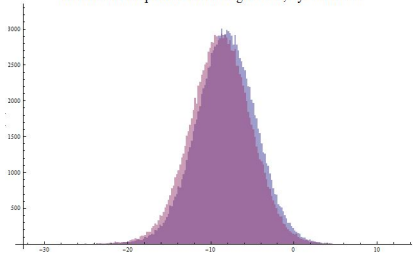
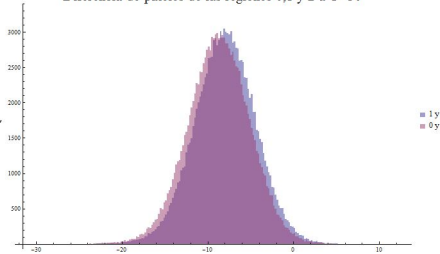


Figure: diferencia entre regiones

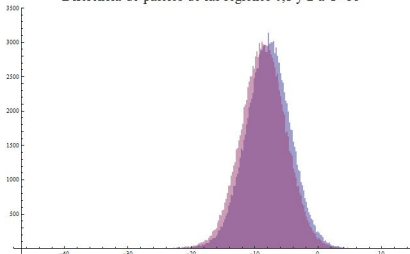
Diferencia de pixeles de las regiones 0,1 y 2 a T=25



Diferencia de pixeles de las regiones 0,1 y 2 a T=30



Diferencia de pixeles de las regiones 0,1 y 2 a T=35



Diferencia de pixeles de las regiones 0,1 y 2 a T=40

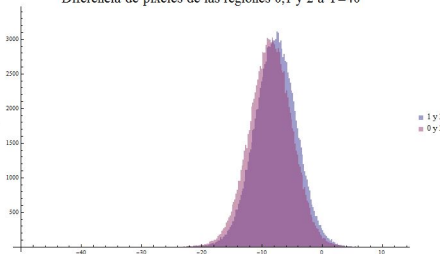
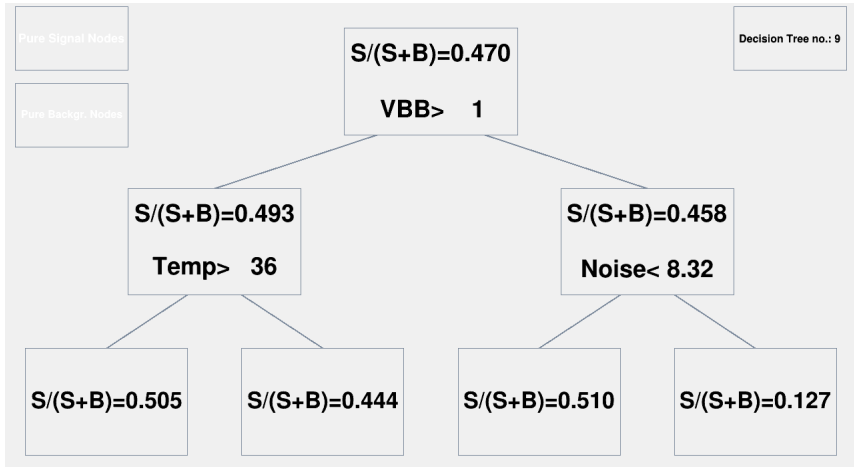
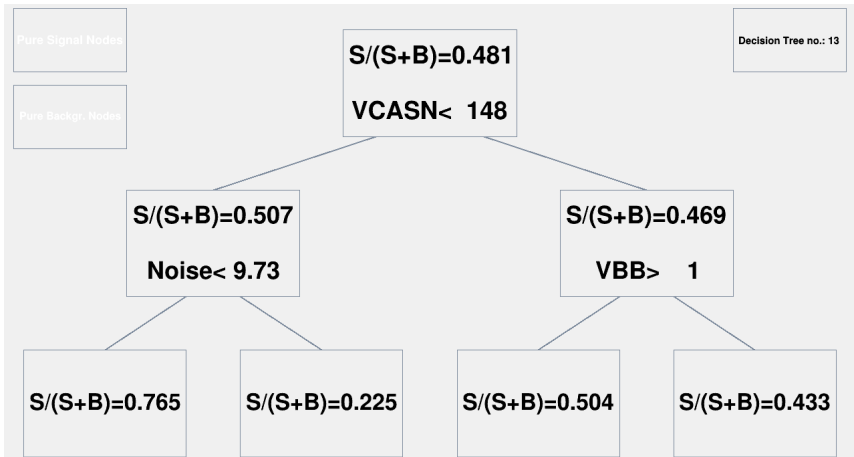


Figure: diferencias para distintas temperaturas





Background rejection versus Signal efficiency

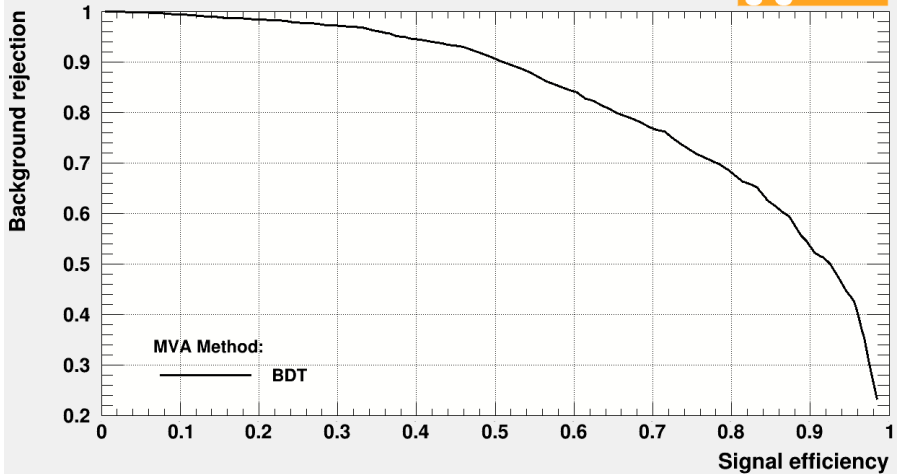


Figure: ROC

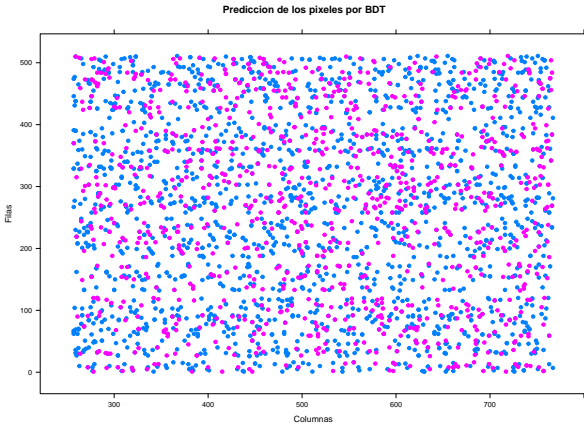


Figure: Comp. region 1 y 2 con BDT

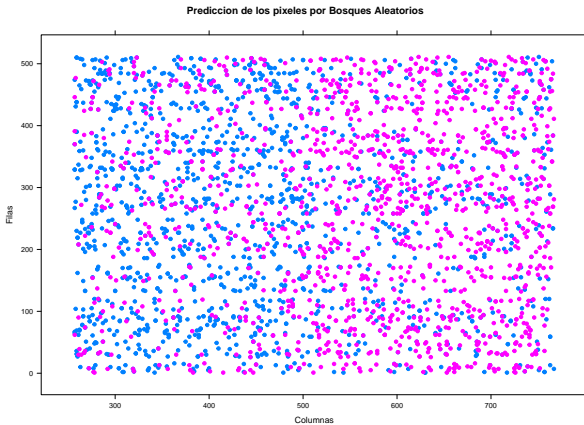


Figure: Comp. region 1 y 2 con RF

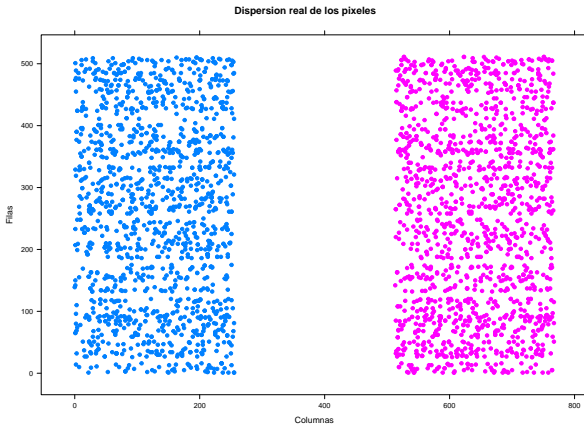


Figure: Distribucion de la muestra

Prediccion de los pixeles por DT

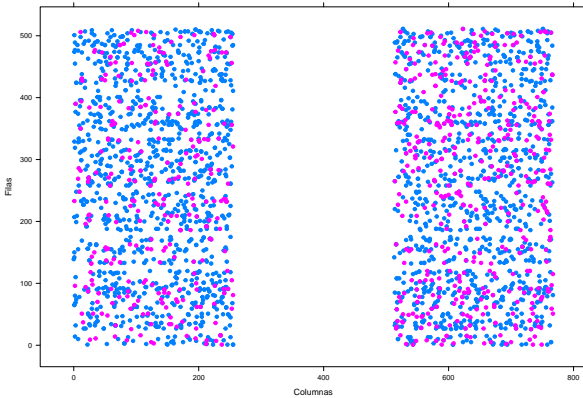


Figure: Comp. region 0 y 2 con DT

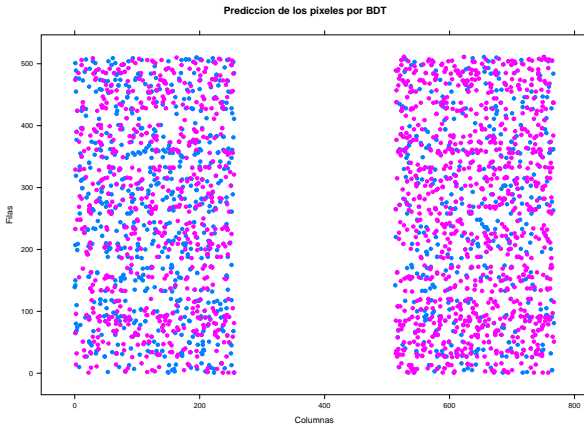
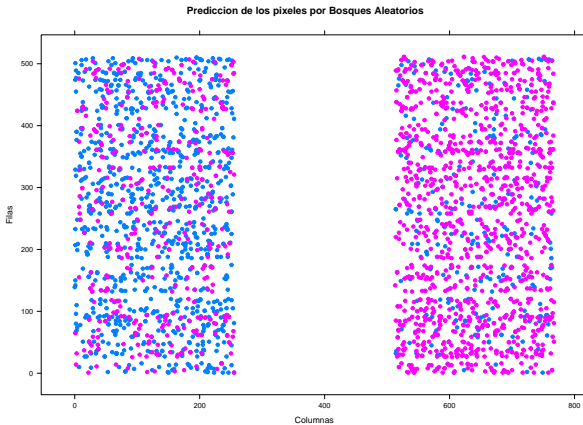


Figure: Comp. region 0 y 2 con BDT



	Valor 1	Valor 3
Pred. 1	1162	1123
Pred. 3	264	451

Figure: DT

	Valor 1	Valor 3
Pred. 1	845	721
Pred. 3	581	853

Figure: BDT

	Valor 1	Valor 3
Pred. 1	1056	389
Pred. 3	370	1185

Figure: RF

Gracias.